



# UNIVERSITÀ DI PARMA

---

Dipartimento di Ingegneria e Architettura  
Corso di Laurea in Ingegneria Informatica, Elettronica e delle  
Telecomunicazioni

## Trasferimento dell'attenzione in reti GAN cicliche

Attention transfer for Cycle Consistent Generative  
Adversarial Networks

Relatore:

Chiar.mo Prof. Andrea Prati

Correlatore:

Ing. Tomaso Fontanini

Tesi di Laurea di:  
Filippo Botti

---

ANNO ACCADEMICO 2019-2020

A mio zio Gabriele e  
mio nonno Vittorio.

*“Tutti sanno che una cosa è impossibile da realizzare, finché non arriva uno sprovveduto che non lo sa e la inventa.”*

*Albert Einstein*

# Ringraziamenti

Permettetemi, prima di cominciare a illustrare gli argomenti, di ringraziare tutte le persone che hanno contribuito durante questo percorso durato tre anni. Per prima cosa volevo ringraziare il Professor Andrea Prati e l'Ingegner Tomaso Fontanini, che, grazie alla loro infinita disponibilità e alla loro competenza, mi hanno introdotto nel mondo del Deep Learning, fino a qualche mese fa a me sconosciuto, e mi hanno coinvolto in questo fantastico progetto. Sono davvero grato di aver avuto due persone come loro al mio fianco durante questo lavoro di tesi e internato di laboratorio. Ringrazio inoltre mio babbo Corrado, mio fratello Matteo e soprattutto mia mamma Alessandra che durante questi anni mi hanno supportato, ma soprattutto sopportato i giorni prima di un esame, quando ero ingestibile. Ringrazio di cuore la mia fidanzata, Benedetta, per esserci sempre stata nel momento del bisogno e avermi spronato a rendere sempre al meglio, come mi vede lei. Ringrazio, non in modo diverso dagli altri, tutti i miei amici e le mie amiche che, tra una risata e l'altra, mi hanno sempre fatto stare bene e fatto sentire il loro affetto. Mi sembra inoltre giusto ringraziare tutti i professori e le professoresse che hanno saputo far crescere il mio amore per lo studio, grazie davvero. Concludo ringraziando mio zio Gabriele, ingegnere anche lui, il quale mi ha saputo dare tantissimi consigli in questi tre anni, ha saputo rassicurarmi quando ce ne era bisogno, e spronarmi quando ero giù. So che ovunque lui sia sarebbe fiero di vedermi finalmente alla fine di questo fantastico percorso.

Vi voglio bene, Filippo

# Indice

<b>Introduzione</b>	<b>1</b>
<b>1 Stato dell'arte</b>	<b>3</b>
1.1 Machine Learning . . . . .	3
1.1.1 Addestramento e discesa del gradiente . . . . .	4
1.2 Deep Learning e Reti Neurali Artificiali . . . . .	6
1.3 Reti Neurali Convolute . . . . .	8
1.4 Generative Adversarial Network . . . . .	11
1.4.1 Pix2Pix Translation . . . . .	13
1.5 GradCam . . . . .	14
1.6 Fréchet Inception Distance . . . . .	16
<b>2 Sistema Realizzato</b>	<b>18</b>
2.1 Image to Image Translation . . . . .	18
2.2 Cycle GAN . . . . .	20
2.3 Codice ed Implementazione . . . . .	22
2.3.1 Networks . . . . .	23
2.3.2 Cycle GAN Model . . . . .	26
2.4 Addestramento . . . . .	27
2.5 GradCam . . . . .	28
2.5.1 Codice e Implementazione . . . . .	29
2.6 CycleGAN e GradCam . . . . .	33

<b>3 Risultati</b>	<b>36</b>
3.1 Introduzione . . . . .	36
3.2 Addestramento base . . . . .	37
3.2.1 Traduzione da cavalli a zebre . . . . .	37
3.2.2 Traduzione da zebre a cavalli . . . . .	38
3.3 Addestramento con trasferimento dell'attenzione . . . . .	39
3.3.1 Traduzione da cavalli a zebre . . . . .	40
3.3.2 Traduzione da zebre a cavalli . . . . .	40
3.4 Confronto tra le due reti . . . . .	41
3.5 Ulteriori sviluppi per la rete . . . . .	46
3.6 Dataset Apple2Orange . . . . .	49
3.6.1 Traduzione da mele ad arance . . . . .	50
3.6.2 Traduzione da arance a mele . . . . .	51
<b>4 Conclusioni e sviluppi futuri</b>	<b>54</b>
4.1 Conclusioni . . . . .	54
4.2 Sviluppi futuri . . . . .	55
4.2.1 Miglioramento dei risultati . . . . .	55
4.2.2 Efficienza della rete . . . . .	56
<b>Bibliografia</b>	<b>57</b>

# Elenco delle figure

1.1	Discesa del gradiente . . . . .	5
1.2	AI, Machine Learning e Deep Learning . . . . .	6
1.3	Rete neurale artificiale . . . . .	8
1.4	Esempio di convoluzione fatta dal kernel . . . . .	9
1.5	Esempio di max pooling . . . . .	10
1.6	Esempio di image-to-image translation . . . . .	13
1.7	Previsione del discriminatore su una traduzione Pix2Pix . . .	14
1.8	Esempio GradCam . . . . .	15
2.1	Training set paired e unpaired . . . . .	19
2.2	Consistenza del ciclo . . . . .	21
2.3	Image-to-image translation con CycleGAN . . . . .	22
2.4	Esempio GradCam applicato ad una CycleGAN . . . . .	30
3.1	Traduzioni horse2zebra rete standard . . . . .	37
3.2	Errori nella traduzione horse2zebra rete standard . . . . .	38
3.3	Traduzione zebra2horse rete standard . . . . .	39
3.4	Traduzione horse2zebra rete GradCam . . . . .	40
3.5	Traduzione zebra2horse rete GradCam . . . . .	41
3.6	Confronto rete standard e rete GradCam horse2zebra . . . .	43
3.7	Confronto rete standard e rete GradCam zebra2horse . . . .	45
3.8	Confronto fra tutte le reti horse2zebra . . . . .	48
3.9	Confronto fra tutte le reti zebra2horse . . . . .	49
3.10	Confronto rete standard e rete GradCam apple2orange . . . .	51

- 3.11 Confronto rete standard e rete GradCam orange2apple . . . . 52

# Introduzione

Negli ultimi anni si è assistito a un notevole sviluppo nel settore tecnologico per quanto riguarda l'intelligenza artificiale. Quest'ultima è ormai presente nella maggior parte degli ambiti: dall'ambito medico, a quello industriale, dalla creazione di bot capaci di aiutare l'uomo, all'elaborazione delle immagini. È proprio quest'ultimo ramo quello su cui si basa questo elaborato.

L'elaborazione e la generazione delle immagini sono una branca sulla quale il *Deep Learning* sta lavorando assiduamente e sta producendo ottimi risultati. Le tecniche utilizzate in questo campo sono molteplici e basano tutte il loro funzionamento sulle reti neurali. Tra le reti utilizzate per questo scopo ci soffermeremo sulle Cycle Consistent Generative Adversarial Networks (CycleGANs), una particolare evoluzione delle Generative Adversarial Networks (GANs). Le CycleGANs pongono il proprio obiettivo nell'addestramento simultaneo di due reti GAN all'interno di un ciclo, e vengono utilizzate nell'ambito della image-to-image translation. Lo scopo di una CycleGAN è, quindi, quello di tradurre immagini appartenenti ad un dominio di input in immagini appartenenti ad un dominio di output, e viceversa, cercando di generare immagini il più possibile realistiche e verosimili. L'idea fondamentale su cui si basano le CycleGANs è detta consistenza del ciclo. Idealmente, infatti, data un'immagine iniziale e applicandovi due volte il processo di traduzione, prima dal dominio iniziale a quello finale, e successivamente dal dominio finale a quello iniziale, si ottiene un risultato uguale all'immagine di partenza, generando così un ciclo che lega le traduzioni.

All'interno di questo elaborato vedremo nel dettaglio come funziona una Cy-

cleGAN, perchè è così efficiente e, soprattutto, provvederemo ad un miglioramento dell’architettura su cui essa si basa, sfruttando l’algoritmo GradCam. L’algoritmo GradCam non è altro che un algoritmo in grado di mostrare graficamente il comportamento di una rete durante l’elaborazione di un’immagine. GradCam, infatti, è in grado di illustrare, grazie al gradiente della rete, su quali punti dell’immagine la rete si focalizza maggiormente durante la generazione di un’immagine. Sfruttando questo concetto, che d’ora in avanti chiameremo attenzione della rete, apporteremo delle modifiche alla CycleGAN, introducendo, nel ciclo già citato, una consistenza non solo a livello di immagine, ma anche a livello di attenzione.

Per fare ciò, provvederemo inizialmente ad illustrare lo stato dell’arte, introducendo i concetti base di *machine learning* e addestramento di una rete, di *deep learning* e reti neurali convolutive, fino ad illustrare le già citate GANs e l’algoritmo GradCam. Successivamente, entreremo più nel dettaglio, andando a descrivere le CycleGANs da un punto di vista funzionale e a livello di codice. Sempre in questo capitolo tratteremo, inoltre, il codice necessario per implementare GradCam e, infine, proporremo una soluzione implementativa per l’utilizzo di GradCam durante l’addestramento di una CycleGAN. Nel capitolo successivo, tratteremo i risultati ottenuti dalla rete così implementata, utilizzando i dataset *horse2zebra* e *apple2orange*. Concluderemo l’elaborato, infine, illustrando i possibili sviluppi futuri applicabili al sistema realizzato.

# Capitolo 1

## Stato dell'arte

Illustriamo ora lo stato dell'arte relativo alle Cycle Generative Adversarial Networks (GANs), delle reti di Deep Learning in grado di tradurre immagini da un insieme ad un altro. Verranno analizzate le architetture sulle quali si basano queste reti e i concetti teorici che le caratterizzano. Inoltre verrà trattato un algoritmo per la rappresentazione visiva di come agiscono queste reti: GradCam.

### 1.1 Machine Learning

*“Si dice che un programma apprende dall’esperienza  $E$  con riferimento a alcune classi di compiti  $T$  e con misurazione della performance  $P$ , se le sue performance nel compito  $T$ , come misurato da  $P$ , migliorano con l’esperienza  $E$ . ”*

*Tom Mitchell [1]*

Il Machine Learning è una branca dell’intelligenza artificiale che basa il suo funzionamento sulla capacità di apprendere dai dati e dalle esperienze passate [2]. Sostanzialmente il Machine Learning cerca di insegnare ai computer a comportarsi come gli esseri umani: imparando dall’esperienza. Esso infatti non è altro che un metodo di analisi dei dati automatizzato che preso un set

di dati in ingresso è in grado di effettuare una previsione su di esso basandosi su un modello. Per capire meglio il concetto aiutiamoci con un esempio: supponiamo di dover creare un sistema in grado di rilevare la presenza di un cavallo all'interno di un'immagine. Questo compito, svolto da un essere umano dotato di pensiero, è un compito molto semplice: il nostro cervello sa com'è fatta la fisionomia di un cavallo, non deve far altro che confrontare l'immagine che vede con ciò che ricorda ed infine stabilire se è conforme o meno. Ora, supponiamo di voler sostituire l'essere umano con un computer, come facciamo a programmare una macchina per distinguere una foto con un cavallo rispetto a qualsiasi altra foto? L'idea è, appunto, quella di utilizzare un algoritmo di Machine Learning per addestrare il computer a rilevare l'animale. Rimanendo sull'analogia tra essere umano e computer, possiamo sfruttare il ragionamento di base dell'uomo e riportarlo sulla macchina: possiamo mostrare al computer tante immagini di cavalli come esempi, per far si che impari a riconoscerli. Per insegnargli a riconoscerle dovremo definire un insieme di parametri, detti features, utili al riconoscimento del cavallo. Possiamo, ad esempio, dire al computer di verificare la fisionomia delle orecchie, il colore del manto e la presenza o meno della criniera. Dovremo quindi verificare la presenza di tutti questi tratti e, infine, potremo determinare, con un margine di errore, se la foto in questione ritrae o meno un cavallo.

### 1.1.1 Addestramento e discesa del gradiente

Andando più nel dettaglio, possiamo dire che, dato un insieme in ingresso  $X$  composto dagli esempi e dalle features che il modello deve estrarre e un insieme in uscita  $Y$ , composto dai valori che l'uscita può assumere (1 se presente il cavallo oppure 0, nel nostro caso di esempio), stiamo cercando una funzione  $f(x)$  tale per cui:

$$f(x) : X \rightarrow Y$$

ovvero un'applicazione che associa ai valori  $x$  un'uscita  $y$ .

Per ricavare l'applicazione cercata dovremo associare dei pesi  $w$  alle features,

tali per cui:

$$y = w_1x_1 + w_2x_2 + \dots + w_nx_n$$

Dobbiamo quindi trovare il valore ottimo dei pesi in questione e lo facciamo attraverso l'addestramento della rete: partendo con pesi dal valore casuale, per ogni esempio, calcoliamo l'uscita  $y$  e la confrontiamo con il valore associato all'esempio, al fine di calcolare la funzione d'errore (che ci indica, per l'appunto, quanto siamo distanti dal valore corretto). Una volta ottenuta la funzione d'errore possiamo calcolarne il gradiente rispetto ai pesi  $w$ , che ci indicherà la crescenza/decrescenza della funzione d'errore. Ora, sappiamo quanto vale la funzione d'errore, sappiamo qual è il suo gradiente, possiamo cercare di minimizzarla. Ci scosteremo quindi di un valore pari al *learning rate*, un ulteriore parametro della rete, sulla funzione d'errore, e ripeteremo quanto fatto fino a quando non verrà trovato il valore minimo, che corrisponderà al valore ottimo dei pesi, come vediamo in figura 1.1. Questo approccio viene denominato discesa del gradiente ed è utilizzato per addestrare le reti.

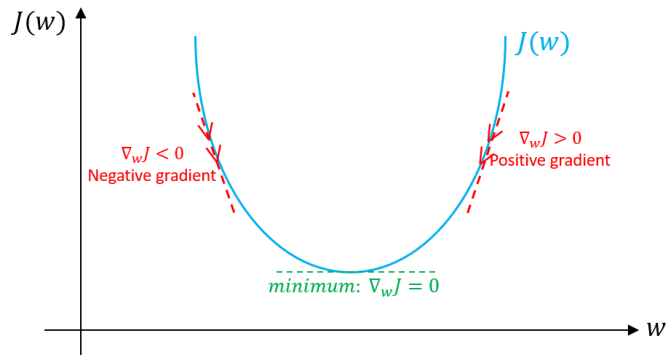


Figura 1.1: Vediamo come, data una funzione, attraverso questo approccio si possa trovare il valore minimo

## 1.2 Deep Learning e Reti Neurali Artificiali

Il Deep Learning è una branca del Machine Learning che mira ad estrarre delle rappresentazioni dei dati partendo dai dati stessi [3]. La differenza sostanziale rispetto al Machine Learning sta nel modo in cui vengono estratte le features: se nel Machine Learning occorreva la descrizione di un modello su cui basarsi per estrarre, con il Deep Learning non sarà più necessario. Le reti di Deep Learning infatti sono in grado di estrarre in modo del tutto autonomo queste features. Ovviamenete per fare ciò occorre un enorme quantitativo di dati in più rispetto al Machine Learning ed è questo il motivo per il quale il Deep Learning si è sviluppato solo nell'ultimo periodo.

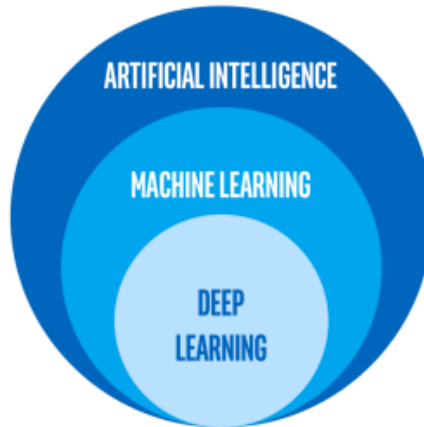


Figura 1.2: Dalla figura capiamo come intelligenza artificiale, Machine Learning e Deep Learning siano strettamente connessi.

Le reti di Deep Learning sono costituite da strati detti *layer*. In un algoritmo di Deep Learning ogni layer ha il compito di estrapolare una caratteristica specifica. Nelle elaborazioni delle immagini, ad esempio, i layer più bassi andranno a definire i bordi e le sfumature dell'immagine, mentre i layer più alti andranno invece a rilevare i concetti rilevanti per l'uomo, come la presenza di un viso o di una lettera. Infine, per concludere questa panoramica iniziale sul Deep Learning occorre specificare cosa si intenda per *hidden layer*,

ovvero i layer nascosti. Gli hidden layer sono i layer interni alla nostra rete neurale, sono quei layer che mettono in comunicazione il primo layer, detto layer di input, con l'ultimo layer, detto layer di output, responsabile della produzione del risultato. Generalmente, per una rete neurale *tradizionale* i layer nascosti sono 2-3, mentre per una rete neurale *profonda*, tipica del Deep Learning, si arriva addirittura a 150 layer nascosti.

Vediamo ora come sono composti questi layer. Dicevamo come il compito di riconoscere un animale in foto fosse molto semplice da un punto di vista umano, mentre molto complesso per una macchina. L'ideale sarebbe avere una macchina dotata di *cervello*, o comunque in grado di emulare il pensiero umano. È proprio questa l'idea che è alla base delle reti neurali artificiali, ovvero le reti che vanno a comporre gli algoritmi di Deep Learning. Le reti neurali umane sono un insieme di neuroni tra loro connessi, in grado di scambiare informazioni e di attivarsi o meno a seconda delle situazioni [4]. Ricorda qualcosa? Esatto, è la funzione che hanno i layer in una rete di Deep Learning. Una rete neurale artificiale, è, quindi, un'emulazione delle reti neurali umane, composta da un grafo connesso di nodi, come si nota dalla figura 1.3, all'interno del quale viaggiano le informazioni, o meglio i dati.

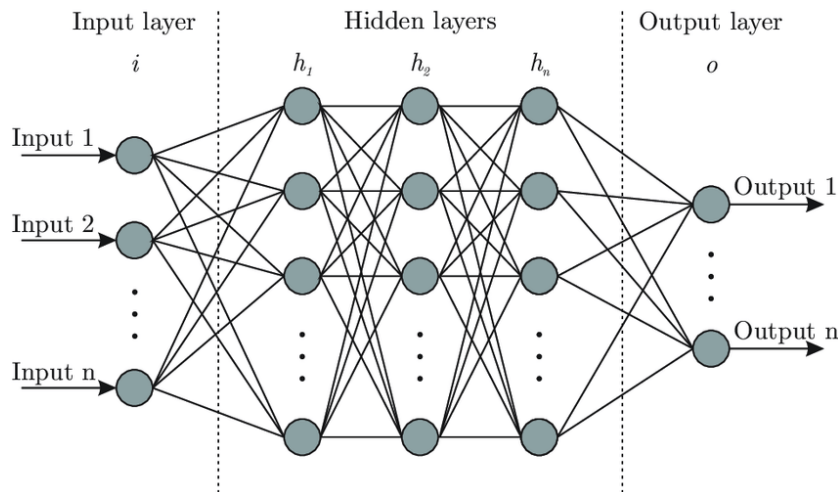


Figura 1.3: Un esempio di rete neurale artificiale, notiamo la suddivisione in layer e come ogni neurone sia connesso ai neuroni del layer successivi

### 1.3 Reti Neurali Convulsive

Tra i tipi di reti neurali le reti neurali convulsive (CNN) sono le reti su cui fare riferimento quando si parla di visione artificiale ed elaborazione delle immagini [5]. Sono infatti reti in grado di catturare con successo ed efficienza le dipendenze spaziali e temporali delle immagini. Sono composte da tre blocchi o livelli: blocco convolutivo, blocco di pooling e i livelli completamente connessi. I primi due blocchi hanno il compito di estrarre le features, mentre il terzo ha il compito di mappare le features estratte nell'output finale.

Per capire il loro funzionamento occorre analizzare come è definita un'immagine. Un'immagine non è altro come un insieme di pixel, ognuno con un determinato valore. Possiamo quindi vedere le immagini come una matrice composta dai valori che assumono i pixel. Le immagini non sono però bidimensionali, infatti le immagini a colori sfruttano i tre canali RGB per comporre i colori, in questo caso avremo quindi una matrice con una dimensione tre di profondità, una per ogni canale. Per intenderci, un'immagine 4K avrà una definizione pari a  $4096 \times 2048$ , un numero quindi elevatissimo

di pixel. È proprio sulla dimensione che andremo a lavorare con il primo blocco delle reti neurali convolutive: vengono ridotte le dimensioni della matrice attraverso un'operazione di convoluzione, che dà il nome al blocco. Per descrivere il funzionamento definiamo il componente che ci permetterà di lavorare sulla matrice: il kernel, chiamato anche filtro. Il kernel può essere descritto come una matrice di pesi tipicamente di dimensione 3x3:

$$\begin{bmatrix} w_{11} & w_{12} & w_{13} \\ w_{21} & w_{22} & w_{23} \\ w_{31} & w_{32} & w_{33} \end{bmatrix}$$

Il kernel ci permetterà di scorrere tutta l'immagine in altezza ed in larghezza, spostandoci ogni volta di una lunghezza definita a priori, e moltiplicare i valori con i pesi corrispondenti. Successivamente, questi valori verranno tra loro sommati ed andranno a comporre il nuovo valore della nuova matrice risultato, che avrà l'aspetto della figura 1.4.

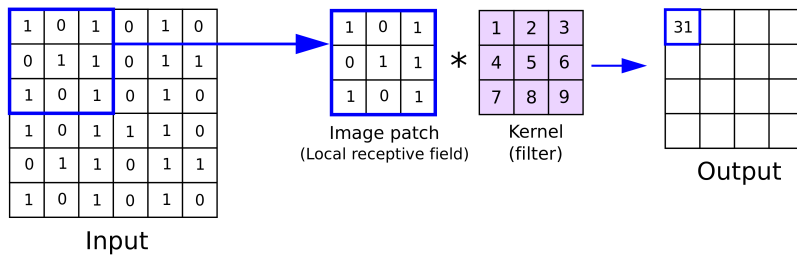


Figura 1.4: Il kernel scorrerà tutta l'immagine al fine di creare una nuova matrice formata dalla somma dei valori dei pixel moltiplicati per i pesi.

Quello che sta realmente accadendo è un'operazione di convoluzione sull'immagine al fine di rilevare caratteristiche come bordi, colore ed orientamento del gradiente. Vi sono due tipi di approcci per questa operazione: il primo approccio, detto *valid padding* permette di ottenere un risultato avente dimensione diversa rispetto alla matrice di partenza, mentre il secondo *same*

*padding* permette, aggiungendo ai margini della matrice iniziale colonne e righe composte da zeri, di ottenere una matrice avente la stessa dimensione di quella di partenza. Durante l'addestramento della rete, lo scopo sarà quello di trovare i valori dei pesi per i quali il kernel fornisce i risultati migliori. Dopo un'operazione di questo tipo, l'output viene fatto passare attraverso una funzione di attivazione, tipicamente una *ReLU* che eliminerà i valori negativi. Il secondo blocco, di pooling, avrà il compito di ridurre le dimensioni ulteriormente, al fine di ridurre la potenza di calcolo necessaria ad elaborare i dati, estrarrà le caratteristiche dominanti ed effettuerà una riduzione del rumore. Il compito di questo blocco sarà quello di ridurre le dimensioni della matrice e raggruppare i valori grazie all'utilizzo di un filtro unitario. Il filtro scorrerà tutta la matrice e, per ogni scorrimento, calcolerà un valore, che sarà il valore che andrà a comporre il risultato. Questo valore può essere calcolato secondo due approcci: *max pooling* dove per ogni raggruppamento il risultato sarà il valore massimo, come in figura 1.5, oppure *average pooling* dove per ogni raggruppamento il risultato sarà la media dei valori.

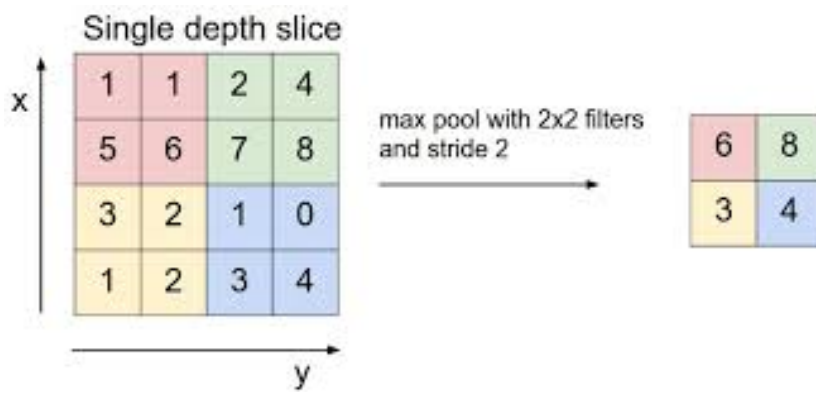


Figura 1.5: In questo caso viene applicato l'approccio max pooling, vediamo come il filtro di dimensione 2x2 ricavi nel primo quadrante della matrice il valore massimo 6 e lo vada ad inserire nella matrice risultato.

Abbiamo visto quindi come vengano catturate le caratteristiche principali della nostra immagine grazie ai primi due blocchi della rete, ora il compito

passerà all'ultimo blocco il quale avrà il compito di convertire i risultati fin'ora ottenuti nella forma adatta agli output finali della rete.

Le CNN sono molteplici, successivamente ci concentreremo sull'architettura ResNet che descrive la rete del nostro progetto.

## 1.4 Generative Adversarial Network

Le Generative Adversarial Networks (GANs) sono un modello generativo basato sul Deep Learning [6] utilizzato per la creazione di immagini. Si tratta di un modello basato su due reti: una rete discriminatrice, che ha lo scopo di determinare se un'immagine è reale oppure falsa, ed una rete generativa, il quale compito è appunto quello di generare immagini. Per capire meglio il loro funzionamento aiutiamoci con un paragone: la rete discriminatrice possiamo vederla come un poliziotto, mentre la rete generatrice come un contraffattore. Lo scopo del contraffattore è quello di affinare la propria abilità al fine di produrre opere false e riuscire a spacciarle per vere senza farsi scoprire, mentre lo scopo del poliziotto è quello di ostacolare il contraffattore rilevando se un'opera è reale o meno. La competizione generata da questo duello porta entrambi a migliorarsi, fino a quando non si arriverà al punto in cui il contraffattore riesce a riprodurre opere indistinguibili da quelle reali [7].

Andiamo ora a descrivere queste reti e la teoria sulla quale si basano.

Prima di tutto occorre parlare di una tipologia differente da quella fin'ora trattata di addestramento: l'addestramento non supervisionato. Abbiamo visto come durante la fase di addestramento gli esempi forniti alla rete vengano associati ad un valore di uscita  $y$  e di come la rete si addestri su questi valori. Nell'addestramento non supervisionato, a differenza, agli esempi di addestramento, non vengono associate le uscite  $y$ , ma vengono forniti solo gli input. L'obiettivo di questo addestramento è quello di rendere la rete in grado di rilevare una correlazione tra gli esempi e, di conseguenza, di ricavare un modello. E' ciò che sta alla base dei modelli generativi, ovvero i modelli

in grado di generare nuovi elementi il quanto più possibile simili agli elementi dell'insieme di input.

Dicevamo di come il modello fosse suddiviso in Generatore e Discriminatore, andiamo ora a vedere come lavorano.

Partendo inizialmente da un vettore casuale  $z$ , il generatore  $G$  genererà un'immagine fake  $G(z)$ . Questa immagine sarà poi data in ingresso al Discriminatore  $D$ , che dovrà determinare se l'immagine è reale o falsa, dovrà quindi fare una predizione  $D(G(z))$ . Sul risultato di questa previsione verrà calcolata la funzione d'errore del discriminatore e, con il metodo già ampiamente descritto della discesa del gradiente, verrà addestrato, mantenendo invariati i parametri del Generatore. Sempre con lo stesso metodo verrà successivamente addestrato il Generatore.

Le funzioni d'errore utilizzate nell'addestramento di queste reti sono logaritmiche. Supponiamo il caso di un'immagine reale, i casi possono essere due:

- la previsione è conforme all'immagine, ovvero, determinato con 1 il valore dell'immagine reale, la previsione sarà un valore ad esso vicino, ad esempio  $D(x) = 0.9$ , per cui l'errore commesso sarà piccolo
- la previsione è errata, ad esempio  $D(x) = 0.1$ , per cui l'errore commesso sarà grande

Una funzione che si comporta come quanto descritto è  $f = -\log(D(x))$ , che nel nostro caso avrà come risultato:  $f = 0.1$  per  $D(x) = 0.9$  e  $f = 2.3$  per  $D(x) = 0.1$ . Come visto questa funzione approssima bene il comportamento che vogliamo ottenere dalla funzione d'errore, ovvero è elevata tanto più la previsione è errata.

Con calcoli analoghi, si ottiene come risultato  $f = -\log(1 - D(G(z)))$  nel caso in cui l'immagine sia generata dal Generatore. Quindi, dato che l'obiettivo della rete è quello di generare un'immagine finta indistinguibile da una reale, l'apprendimento consisterà quindi nell'ottimizzare un gioco *minmax* per  $G$  e

$D$ :

$$\min_G \max_D \mathbb{E}_{\mathbf{x} \sim p_{data}(\mathbf{x})} [\log D(\mathbf{x})] + \mathbb{E}_{\mathbf{z} \sim p_{\mathbf{z}}(\mathbf{z})} [\log(1 - D(G(\mathbf{z})))]$$

L'utilizzo delle GAN si concentra su tre campi principali:

- Image Super-Resolution, per migliorare la qualità delle immagini in ingresso;
- Creare arte;
- Image to Image Translation, ovvero l'applicazione di uno stile ad un'immagine di input, come ad esempio estate-inverno, giorno-notte, e, come vedremo più avanti nel nostro caso, cavallo-zebra. Un esempio di questa applicazione è mostrato in figura 1.6.



Figura 1.6: Un esempio di Image to Image translation [8]

#### 1.4.1 Pix2Pix Translation

Un aspetto da sottolineare per quanto riguarda le GAN è la possibilità di condizionarne il funzionamento. Parliamo quindi di Conditional Generative Adversarial Network, utilizzate nella traduzione da immagine a immagine Pix2Pix [7].

Abbiamo visto come le GAN generino delle immagini partendo dal rumore. L'idea che è alla base di questa traduzione è quella di partire a generare un'immagine non più da un vettore casuale ottenuto dal rumore, bensì da

un'altra immagine [9]. Aiutandoci con un esempio, supponiamo di avere una GAN utilizzata nella generazione di visi umani. Dalla GAN in questione ci aspettiamo che la probabilità di generare un volto femminile sia pari a quella di un volto maschile, e che quindi la rete non faccia distinzione sull'output generato. Utilizzando una GAN condizionata possiamo, appunto, condizionare la generazione dei volti solo su quelli femminili o solo su quelli maschili. Per fare ciò addestreremo la rete non più su una singola immagine come visto fin'ora, ma su coppie di immagini, grazie ad un dataset *paired*, ovvero un dataset composto da immagini accoppiate a due a due secondo la relazione input-output [8]. In questo modo il discriminatore non lavorerà più facendo previsioni solamente sull'immagine generata, ma lo farà sulla coppia di immagini: immagine di partenza più immagine generata e immagine di partenza più rispettivo output, come si nota dall'esempio in figura 1.7.

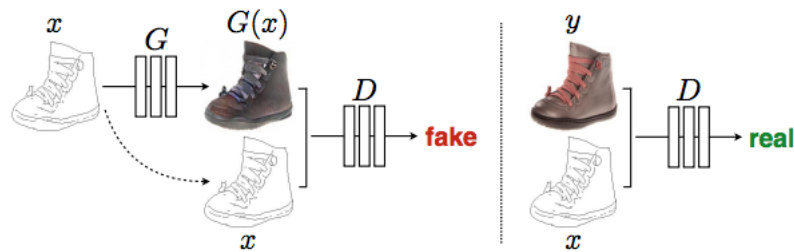


Figura 1.7: Vediamo come il discriminatore esegua una previsione sulla coppia di immagini input-output fake e input-output associato.

## 1.5 GradCam

Abbiamo ampiamente parlato di CNN e di come il loro funzionamento sia ideale o molto performante nell'ambito della visione artificiale e dell'elaborazione delle immagini. Come per ogni ambito dell'intelligenza artificiale, è molto importante capire il loro funzionamento e renderle il più intuitiva possibile. Questo perché, nel caso di un malfunzionamento, occorre sapere da che cosa è stato determinato. La necessità di comprendere in maniera

trasparente il loro funzionamento è data da tre principali motivi. In primo luogo, quando l'AI è debole rispetto alla capacità umana è utile identificare il perché il suo comportamento fallisca. Successivamente quando l'AI è pari alla capacità umana l'obiettivo è quello di stabilire un'adeguata fiducia negli utenti. Infine, quando l'AI è decisamente superiore all'intelligenza umana l'obiettivo è quello di apprendere da essa [10].

Una delle tecniche principali per capire il funzionamento delle CNN è attraverso le mappe di attivazione di classe (CAM). La loro logica è basata sui risultati che produce l'ultimo livello convolutivo di una CNN. Sostanzialmente, grazie alle features map prodotte dall'ultimo layer convolutivo è possibile ricavare dove si focalizza l'attenzione della rete. Per rendere più chiaro il concetto riprendiamo l'esempio della rete classificatrice. Vogliamo capire dove si concentra la rete, su che parametri dell'immagine. Ci aspettiamo che difficilmente l'attenzione sia focalizzata ai margini dell'immagine, o su parametri secondari come lo sfondo, ma che sia focalizzata sulla sagoma dell'animale. CAM ci permette, grazie ad una mappa del calore come vediamo in figura 1.8, di verificare come si comporti la rete nell'analisi dell'immagine.



Figura 1.8: Il risultato dell'applicazione di GradCam su una rete classificatrice. In questo caso l'output di classificazione riguarda il cane e vediamo come l'attenzione sia concentrata tutta sulla faccia dell'animale.

L'approccio visto fin'ora funziona però solo su reti CNN e non su altre ar-

chittture. Introduciamo quindi GradCam, avente un funzionamento simile a quanto descritto, ma applicabile a qualsiasi tipologia di architettura. Vediamo il funzionamento nel dettaglio. Sia la nostra rete una rete classificatrice e sia  $y^c$  l'output di classificazione della rete. Denotiamo inoltre con  $A^k$  le mappe di attenzione generate dall'ultimo layer convolutivo della rete sulle quali vogliamo andare a calcolare l'attenzione. Calcoliamo il gradiente di  $y^c$  rispetto alle mappe di attenzione  $A^k$ :

$$\frac{\partial y^c}{\partial A^k}$$

Ora, applichiamo un *global average pooling*, ovvero la media su altezza e larghezza di ogni mappa di attenzione, e poniamo:

$$\alpha_{k}^c = \frac{1}{Z} \sum_{i=1} \sum_{j=1} \frac{\partial y^c}{\partial A^k_{ij}}$$

$\alpha_k^c$  sarà un vettore di dimensione pari al numero di feature map del layer scelto e conterrà i pesi da affidare ad ogni feature map.

Successivamente moltiplicheremo il vettore contenente i pesi con le features map e ne faremo una somma. In questo modo associamo ad ogni canale della convoluzione un peso determinato dal gradiente. Il peso associato a questi canali indica se si attivano o meno durante l'elaborazione dell'immagine. Infine applicheremo una ReLu alla somma ottenuta, al fine di eliminare i valori negativi.

Il risultato ottenuto potrà essere visto attraverso una mappa del calore ed indicherà dove sarà maggiormente focalizzata l'attenzione della rete nel layer stabilito.

## 1.6 Fréchet Inception Distance

Definite le GAN, definito GradCam come metodo per visualizzare dove le reti vanno a lavorare, occorre ora definire un metodo per valutare la qualità della rete generatrice. Introduciamo quindi il Fréchet Inception Distance (FID). Il FID è un metodo utilizzato per valutare la qualità delle immagini

generate da una GAN [11]. Il metodo si basa sul concetto matematico della distanza di Fréchet utilizzato in matematica per calcolare la somiglianza tra le curve tenendo conto della posizione e dell'ordine dei punti lungo le curve [12]. Il ragionamento è quello di valutare due insiemi: un insieme di esempio e un insieme di immagini generate dalla rete. Vengono calcolate quindi le distribuzioni di questi due insiemi, vengono confrontate e viene prodotto un risultato. Il risultato indicherà quanto sono distanti le due distribuzioni, quindi un risultato piccolo è ottimale.

# Capitolo 2

## Sistema Realizzato

In questo capitolo illustreremo l'architettura del nostro progetto e andremo ad analizzare il codice. Partiremo con la definizione del problema della traduzione da immagine a immagine e vedremo com'è composta la rete che abbiamo utilizzato.

### 2.1 Image to Image Translation

Vi siete mai chiesti come sarebbe bello poter ottenere una foto a colori da una foto in bianco e nero? Oppure avere la possibilità di passare da una foto ritraente un paesaggio estivo a un paesaggio autunnale?

Questi sono solamente alcuni degli esempi di applicazioni della image-to-image translation. L'image-to-image translation è molto simile a ciò che accade nella traduzione da lingua a lingua: partendo da un'immagine appartenente ad un dominio iniziale, come la foto di un paesaggio estivo, vogliamo ottenere un'immagine appartenente ad un altro dominio, ad esempio passando da paesaggio estivo a paesaggio autunnale.

Un esempio di image-to-image translation è il già trattato Pix2Pix [9] che, grazie ad una GAN condizionata addestrata con un training set *paired*, di cui un esempio in figura 2.1, produce un output condizionato dall'immagine di input.

Tuttavia, l'approccio Pix2Pix fin qui descritto non è del tutto efficiente in quanto il training set della rete comporta un notevole sforzo nella sua creazione. Infatti, tornando all'esempio dei paesaggi, occorrebbe avere un enorme quantitativo di foto ritraenti lo stesso identico paesaggio in due differenti momenti dell'anno. In aggiunta, per alcune applicazioni sarebbe del tutto impossibile ottenere un training set di questo tipo: basti pensare alla traduzione da opere d'arte a foto, o all'applicazione di uno stile a immagini reali, come vedremo più avanti nel nostro caso quando vorremo trasformare cavalli in zebre e viceversa.

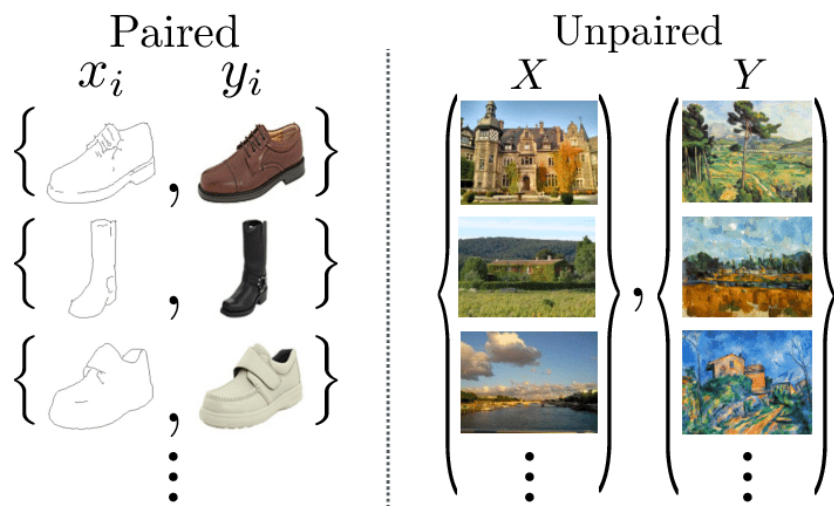


Figura 2.1: Vediamo un esempio di set paired, dove le immagini sono accoppiate tra input-output e set unpaired dove non vi è questa corrispondenza.

Proprio per questo motivo si è pensato di adottare una nuova soluzione attraverso l'addestramento con un training set *unpaired*, dove non vi è una corrispondenza di input-output accoppiati, come vediamo sempre in figura 2.1. In questo caso l'obiettivo è quello di addestrare una rete in grado di mappare le immagini appartenenti al dominio di partenza nel dominio di arrivo, in modo tale che le immagini generate siano verosimilmente appartenenti al dominio di arrivo.

Tuttavia non siamo ancora arrivati ad un risultato ottimale che soddisfi le

nostre esigenze per la traduzione di un’immagine: in questo modo, infatti, non stiamo garantendo la traduzione esatta da immagine di input a immagine di output, ne stiamo solo condizionando la creazione. Inoltre potrebbe subentrare il problema del collasso della rete, dove tutte le immagini di input si mappano nella stessa immagine di output [8]. Occorre quindi trovare un modo per migliorare l’idea fin qui realizzata, e proprio per questo motivo introduciamo una nuova architettura: la Cycle GAN.

## 2.2 Cycle GAN

Per spiegare questa architettura possiamo fare un paragone con la linguistica. Quando vogliamo tradurre una frase dall’italiano all’inglese vogliamo che applicando il procedimento di traduzione inversa da inglese a italiano, la frase torni ad essere quella di partenza. Vogliamo cioè che vi sia della consistenza tra i risultati. Questo concetto è proprio ciò che vogliamo applicare al nostro problema della traduzione da immagine a immagine. In poche parole vogliamo ottenere un’immagine di output, la quale applicando a ritroso la traduzione ci restituisca come risultato l’immagine di input.

Matematicamente non vogliamo far altro che trovare due funzioni biettive  $G : X \rightarrow Y$  e  $F : Y \rightarrow X$ , tali per cui  $F$  sia l’inversa di  $G$ , ovvero:

$$\begin{cases} F(G(x)) = x \\ G(F(y)) = y \end{cases}$$

Da un punto di vista architettonico questo problema può essere risolto attraverso due reti GAN, la prima responsabile della traduzione da  $X$  a  $Y$ , la seconda responsabile della traduzione inversa da  $Y$  a  $X$  [8]. In questo modo il generatore della prima rete prenderà in input le immagini dal primo dominio e produrrà in output le immagini per il secondo dominio, successivamente il compito passerà al generatore della seconda rete che prenderà come input le immagini generate dal primo generatore e produrrà come output un’immagine del primo dominio il più fedele possibile, poi vedremo come, all’immagine

di partenza. I rispettivi discriminatori saranno impiegati nel determinare quanto le immagini generate siano plausibili.

Per quanto riguarda l'addestramento, esso è conforme a quanto già descritto per le reti GAN, con l'aggiunta di una loss che indica la consistenza del ciclo. Per spiegare come viene calcolata questa loss aggiuntiva definiamo due concetti: *forward cycle consistency* e *backward cycle consistency*. Il forward cycle consistency (consistenza del ciclo in avanti) non è altro che la sopra definita  $F(G(x)) = x$ , mentre il backward cycle consistency (consistenza del ciclo all'indietro) è la sopra definita  $G(F(Y)) = y$ , come si può intuire visivamente dalla figura 2.2. Attraverso questi due concetti possiamo quindi valutare di quanto si discosta l'immagine rigenerata, grazie al forward cycle consistency, con l'immagine iniziale. Infatti, calcolando la differenza (che matematicamente rappresentiamo con la norma, o la norma al quadrato) tra le due immagini si ottiene l'errore che la rete commette durante la traduzione dell'immagine. Possiamo applicare il medesimo ragionamento per quanto riguarda il backward cycle consistency per ottenere la loss di consistenza del ciclo:

$$L_{\text{cyc}}(G, F) = \|G(F(x)) - x\| + \|F(G(Y)) - y\|$$

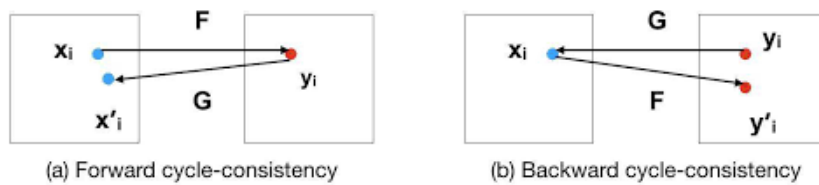


Figura 2.2: Vediamo una rappresentazione grafica della consistenza del ciclo.

In questo modo abbiamo quindi definito una rete costituita da due GAN cicliche, da cui il nome. La loss totale della rete dipenderà quindi dalle loss delle due GAN, più la loss aggiuntiva che indica la consistenza del ciclo.

$$L_{\text{cycgan}}(G, F, D_x, D_y) = L_{\text{gan}}(G, D_y, X, Y) + L_{\text{gan}}(F, D_x, Y, X) + L_{\text{cyc}}(G, F)$$

Come ampiamente spiegato la Cycle GAN può essere definita attraverso due funzioni biettive, una l'inversa dell'altra. Un problema di traduzione da immagine a immagine risolto attraverso l'implementazione di una rete di questo tipo porterà quindi ad una doppia soluzione: la traduzione, che possiamo definire *primaria*, da dominio *A* a dominio *B* ed una traduzione *secondaria* da dominio *B* a dominio *A*. Vedremo infatti nei capitoli futuri come il nostro progetto si concentrerà sulla traduzione di immagini da cavalli a zebre, ma noteremo come, seppur con risultati inferiori, la rete sia in grado di tradurre anche da zebre a cavalli, come vediamo tra gli esempi di figura 2.3.

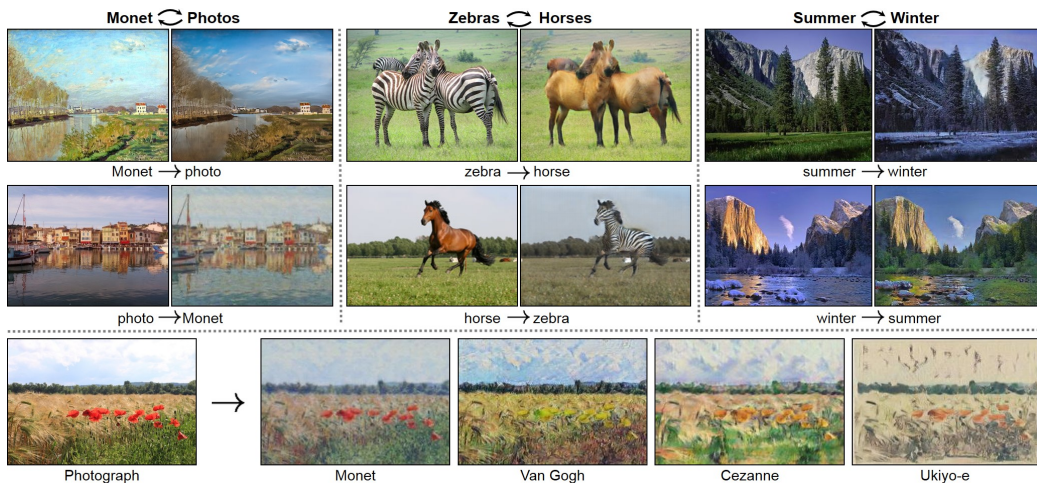


Figura 2.3: Vediamo vari esempi di una image to image translation attraverso l'uso di Cycle GAN.

## 2.3 Codice ed Implementazione

Dopo aver trattato la teoria sulla quale si basano le Cycle GAN vediamo in questa sezione com'è possibile implementarle a livello di codice. L'implementazione iniziale da cui partiremo è quella proposta dal Paper [8].

Il codice è scritto in Python e utilizza il Framework Pytorch per costruire la rete e addestrarla. Il codice dà la possibilità di specificare diversi parametri

utili alla rete, in questa sezione ci limiteremo a definire quelli utilizzati nel nostro progetto.

### 2.3.1 Networks

La prima classe che andiamo a definire è la classe networks, all'interno della quale vengono definite le architetture utilizzate per implementare la CycleGAN. Come prima cosa andremo a definire le reti Generatrici, che nel nostro progetto saranno composte attraverso un'architettura ResNet avente nove blocchi residui. Notiamo come durante l'inizializzazione del Generatore sia possibile andare a specificare alcuni parametri, per cambiare il comportamento della rete. Tra questi troviamo la tipologia dell'architettura utilizzata, la quale, nel nostro caso, sarà, come detto, una ResNet.

```
ResnetGenerator(  
    (model): Sequential(  
        (0): ReflectionPad2d  
        (1): Conv2d  
        (2): InstanceNorm2d  
        (3): ReLU  
        (4): Conv2d  
        (5): InstanceNorm2d  
        (6): ReLU  
        (7): Conv2d  
        (8): InstanceNorm2d  
        (9): ReLU  
        (10): ResnetBlock  
        (11): ResnetBlock  
        (12): ResnetBlock  
        (13): ResnetBlock  
        (14): ResnetBlock  
        (15): ResnetBlock
```

```
(16): ResnetBlock  
(17): ResnetBlock  
(18): ResnetBlock  
(19): ConvTranspose2d  
(20): InstanceNorm2d)  
(21): ReLU  
(22): ConvTranspose2d  
(23): InstanceNorm2d  
(24): ReLU  
(25): ReflectionPad2d  
(26): Conv2d  
(27): Tanh  
)  
)
```

Con codice analogo vengono successivamente definite le reti Discriminatori. Anche in questo caso sarebbe possibile specificare ulteriori parametri per cambiare il tipo di rete utilizzato. Si distinguono tre tipologie di Discriminatore: *basic*, *n-layer* e *pixel*. Nella nostra rete utilizzeremo il discriminatore Basic, il quale suddivide l'immagine in parti composte da 70x70 pixel e per ognuna di queste viene effettuata una classificazione tra reale e fake.

```
NLayerDiscriminator(  
(model): Sequential(  
(0): Conv2d  
(1): LeakyReLU  
(2): Conv2d  
(3): InstanceNorm2d  
(4): LeakyReLU  
(5): Conv2d  
(6): InstanceNorm2d  
(7): LeakyReLU
```

```

(8): Conv2d
(9): InstanceNorm2d
(10): LeakyReLU
(11): Conv2d
)
)

```

Successivamente viene definita la Loss della GAN, nel nostro progetto utilizzeremo una *Mean Squared Error Loss*:

$$MSE = \frac{\sum_{i=1}^n (x_i - \hat{x}_i)^2}{n}$$

Proseguendo all'interno del codice vengono definiti i blocchi residui della nostra ResNet. Come detto in precedenza la nostra rete sarà composta da nove blocchi residui. I blocchi residui vengono utilizzati nel Deep Learning al fine di poter ottenere una maggiore profondità della rete. Infatti, se anziché utilizzare una ResNet utilizzassimo un'altra architettura, sarebbe errato parlare di precisione della rete proporzionale alla sua profondità, in quanto subentrerebbe il problema del *vanishing gradient*, secondo il quale il gradiente si annullerà a causa dei troppi livelli. Per questo motivo vengono introdotte le ResNet, le quali attraverso *salti* tra i layer che compongono i blocchi residui, riescono ad evitare questo problema [13].

Ogni blocco residuo è composto da i seguenti layer:

```

ResnetBlock(
    (conv_block): Sequential(
        (0): ReflectionPad2d
        (1): Conv2d
        (2): InstanceNorm2d
        (3): ReLU
        (4): ReflectionPad2d
        (5): Conv2d
    )
)

```

```
(6): InstanceNorm2d
```

```
)
```

### 2.3.2 Cycle GAN Model

Dopo aver descritto come viene definita l’architettura della rete, possiamo descrivere come la Cycle GAN è implementata.

Come prima cosa occorre ovviamente costruire i due generatori e i due discriminatori, richiamando i sopra citati metodi della classe networks. Successivamente definiamo il comportamento dei Generatori che avranno il compito di generare le immagini fake attraverso le quali andremo a calcolare la Loss:

```
def forward(self):
    self.fake_B = self.netG_A(self.real_A)    # G_A(A)
    self.rec_A = self.netG_B(self.fake_B)      # G_B(G_A(A))
    self.fake_A = self.netG_B(self.real_B)      # G_B(B)
    self.rec_B = self.netG_A(self.fake_A)      # G_A(G_B(B))
```

Come vediamo le istruzioni rappresentano il funzionamento descritto per le Cycle GAN: partendo da un’immagine del dominio  $A$ , generiamo con il primo generatore un’immagine fake per il dominio  $B$ , successivamente attraverso il secondo generatore ricostruiamo l’immagine iniziale partendo dall’immagine fake del dominio  $B$ . Questo procedimento è ripetuto in maniera analoga anche per la generazione da dominio  $B$  a dominio  $A$ .

Seguentemente definiamo la funzione Backward per i due discriminatori, alla quale passiamo come argomenti le immagini reali e le immagini fake, su cui i discriminatori dovranno effettuare la previsione, al fine di calcolare la Loss dei discriminatori.

```
def backward_D_basic(self, netD, real, fake):
    pred_real = netD(real)
```

```

loss_D_real = self.criterionGAN(pred_real, True)
# Fake
pred_fake = netD(fake.detach())
loss_D_fake = self.criterionGAN(pred_fake, False)
# Combined loss and calculate gradients
loss_D = (loss_D_real + loss_D_fake) * 0.5
loss_D.backward()

```

Infine definiamo il metodo di Backward per quanto riguarda i generatori: è qui che calcoleremo la Loss di consistenza del ciclo.

```

# Forward cycle loss // G_B(G_A(A)) - A //
self.loss_cycle_A=self.criterionCycle(self.rec_A, self.real_A)
# Backward cycle loss // G_A(G_B(B)) - B //
self.loss_cycle_B=self.criterionCycle(self.rec_B, self.real_B)

```

Oltre alla Loss di consistenza del ciclo sono ovviamente presenti le classiche Loss per le reti GAN e una Loss di identità ottenuta passando ad un generatore un'immagine del dominio di arrivo, teoricamente il generatore in questione dovrebbe produrre come output l'immagine stessa in quanto già appartenente al dominio d'arrivo.

## 2.4 Addestramento

Abbiamo quindi definito tutti i punti più importanti delle classi che definiscono la nostra rete, ora possiamo concentrarci sull'addestramento. Per prima cosa occorre definire un dataset sul quale andare a lavorare. Il progetto dal quale siamo partiti mette a disposizione svariati dataset su cui addestrare la rete, tra questi il dataset *horse2zebra*. Il dataset in questione offre la possibilità di tradurre immagini di cavalli in zebre, quindi applicando le strisce bianche e nere al manto del cavallo, e da zebre a cavalli, quindi applicando il procedimento inverso rimuovendo le strisce bianche e nere e dando un colore

omogeneo al manto.

Per l’addestramento della rete si è scelto di utilizzare Google Colab, un ambiente gratuito offerto dalla Google che mette a disposizione le proprie schede grafiche per addestrare reti di questo tipo.

L’addestramento si basa su epoches e per la nostra rete il numero di epoches fissato è pari a 200.

Per quanto riguarda i tempi di addestramento essi ovviamente variano a seconda della rete che si vuole addestrare. Nel nostro caso i tempi impiegati dalla Cycle GAN fin qui descritta erano dell’ordine dei minuti per epoca, indicativamente dieci. Per le modifiche successive che apporteremo alla rete vedremo come il tempo necessario all’addestramento aumenterà, fino ad arrivare a oltre quaranta minuti per epoca per la Cycle GAN addestrata grazie all’utilizzo di GradCam su quattro blocchi residui, che descriveremo nei capitoli successivi.

## 2.5 GradCam

Nel capitolo precedente abbiamo trattato l’algoritmo GradCam definendolo come un algoritmo in grado di associare una risposta visiva al comportamento della rete, indicandoci attraverso una mappa di calore dove la rete pone la propria attenzione durante la generazione delle immagini. L’idea è quindi quella di sfruttare GradCam al fine di indirizzare l’attenzione della rete durante la generazione delle immagini. Idealmente, infatti, le mappe di attenzione durante la ricostruzione dell’immagine iniziale, quindi dal dominio  $B$  al dominio  $A$ , dovrebbero essere uguali a quelle della trasformazione da  $A$  a  $B$ . Infatti, tornando all’esempio del dataset cavalli e zebre, ci aspettiamo che, se la mappa di attenzione generata dalla rete durante la trasformazione da cavallo a zebra si focalizza sulla sagoma del cavallo, per inserirne le strisce bianche e nere, anche l’attenzione generata dalla ricostruzione da zebra fake a cavallo si focalizzi negli stessi punti della precedente, in modo tale da rimuovere le strisce aggiunte e riportare il manto del cavallo allo stato iniziale.

Il ragionamento è molto simile alla già illustrata consistenza del ciclo per le CycleGAN: deve esserci consistenza tra le mappe di attenzione. Lo scopo del nostro progetto è dunque quello di introdurre una nuova loss che indichi questa uguaglianza.

### 2.5.1 Codice e Implementazione

Vediamo ora come applicare il ragionamento fin qui spiegato. Come prima cosa occorre definire i parametri su cui lavora GradCam. Come già accennato nei capitoli precedenti, GradCam lavora sui layer di una rete, quindi occorrerà scegliere tra i layer che compongono la nostra rete quelli sui quali andare a generare le mappe di attenzione. Oltre a questo, occorre andare a definire qual è l'output di classificazione su cui effettuare la backpropagation. Nel nostro caso non abbiamo un vero e proprio output di classificazione, ma possiamo sfruttare l'output del Discriminatore come tale. Infatti il comportamento del Discriminatore è molto simile ad un classificatore: possiamo vedere la determinazione tra immagine vera o immagine fake come una vera e propria classificazione.

Abbiamo quindi definito tutti i parametri fondamentali per implementare GradCam in una CycleGAN, possiamo concentrarci ora sull'analisi delle istruzioni fondamentali. Prima di procedere con l'analisi del codice, però, dobbiamo definire su quali layer ricavare le mappe di attenzione da utilizzare per il calcolo della Loss sopra citata. La rete generatrice, infatti, è composta da 23 blocchi sui quali è possibile andare a generare le mappe di attenzione. Idealmente, si potrebbero utilizzare tutti e 23 i layer, magari associando un peso diverso per ognuno di essi, ma non è una strada ottimale, in quanto non tutti i layer sono utili al nostro scopo. La scelta dei layer su cui calcolare la Loss ricade quindi sui nove blocchi residui della rete, in quanto, come vediamo in figura 2.4, sono i layer che offrono i risultati migliori. Come vedremo successivamente, i risultati migliori sono quelli ottenuti utilizzando solo l'ultimo blocco residuo per calcolare la Loss di consistenza dell'attenzione.

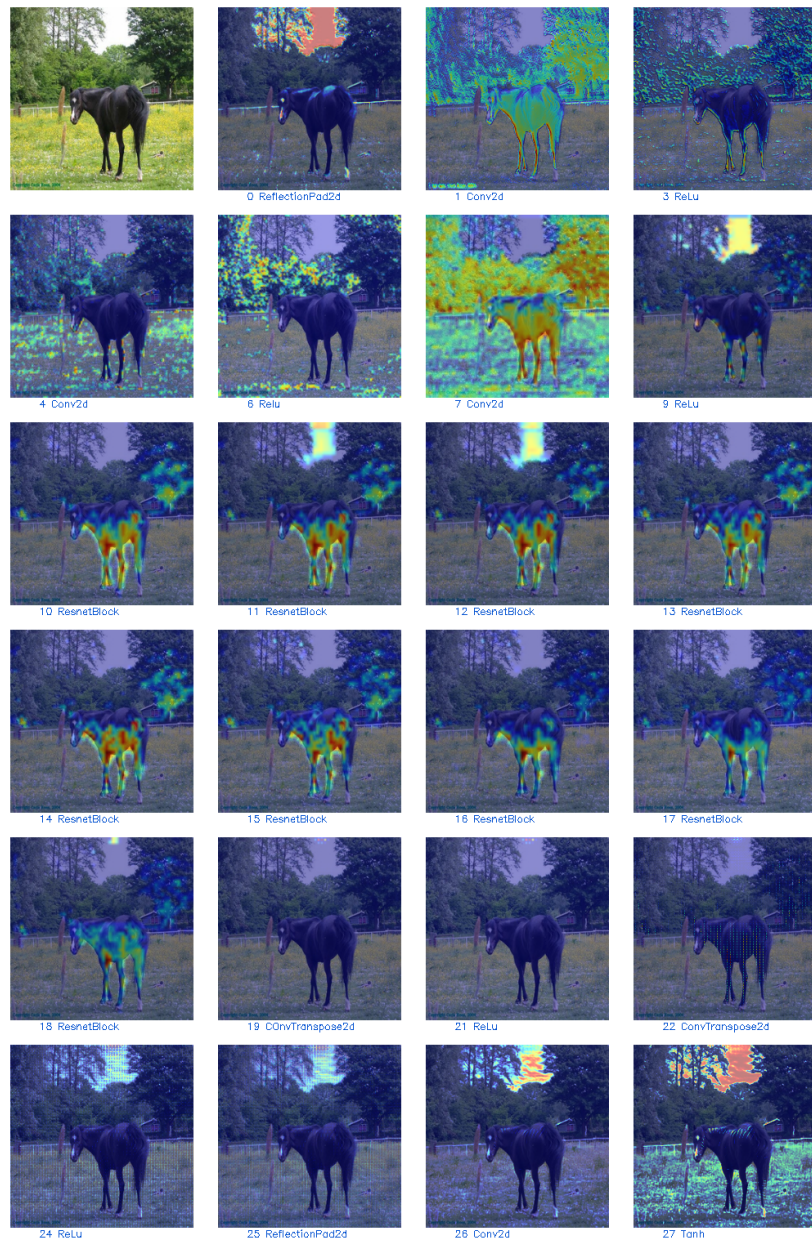


Figura 2.4: Vediamo le varie mappe di attenzione generate applicando GradCam su tutti i blocchi possibili della rete.

Dopo aver definito tutti i parametri sui quali lavorare possiamo soffermarci sul codice necessario a realizzare quanto spiegato fin'ora. Definiamo in primo

luogo la classe FeatureExtractor, la quale ha il compito di salvare il gradiente dei layer scelti per generare le mappe di attenzione.

```
def __init__(self, model, target_layers):
    self.model = model
    self.target_layers = target_layers
    self.gradients = []
def __call__(self, x):
    outputs = []
    self.gradients = []
    for name, module in self.model._modules.items():
        x = module(x)
        if name in self.target_layers:
            x.register_hook(self.save_gradient)
            outputs += [x]
    return outputs, x
```

Come vediamo attraverso un ciclo si scorrono tutti i layer della rete e vengono applicati all'immagine  $x$ . Successivamente viene verificato se il layer in questione è tra quelli sui quali vogliamo generare le mappe di attenzione: in caso affermativo viene salvato il gradiente e l'output in uscita dal Generatore, precedentemente calcolato, viene salvato in una lista.

Dopodichè definiamo la classe ModelOutputs, avente il compito di sfruttare l'output del Discriminatore per generare le mappe di attenzione.

```
class ModelOutputs():
    def __init__(self, model, discriminator, feature_module,
                 target_layers):
        self.model = model
        self.feature_module = feature_module
        self.discriminator = discriminator
        self.feature_extractor =
            FeatureExtractor(self.feature_module,
```

```
target_layers)

def get_gradients(self):
    return self.feature_extractor.gradients

def __call__(self, x):
    target_activations = []
    for name, module in self.model._modules.items():
        if module.model == self.feature_module:
            target_act, x = self.feature_extractor(x)
        elif "avgpool" in name.lower():
            x = module(x)
            x = x.view(x.size(0), -1)
        else:
            x = module(x)
            x = self.discriminator(x)
    return target_act, x
```

Vediamo come si scorrono tutti i layer del Generatore e per ognuno di essi si verifichi se sia tra quelli su cui si vuole generare l'attenzione: in caso affermativo, viene salvato il gradiente grazie alla classe FeatureExtractor sopra citata. Infine, per ogni layer ne viene calcolato l'output, generando quindi l'immagine fake. L'immagine generata viene di conseguenza passata al discriminatore, al fine di determinare l'output di classificazione necessario a GradCam per generare le mappe di attenzione. Per concludere la panoramica sul codice, definiamo la classe GradCam avente il compito di generare, grazie all'utilizzo delle classi precedenti, le mappe di attenzione. Dopo aver richiamato il metodo dell'estrazione delle features, determiniamo un tensore *one\_hot* contenente la media dei valori di classificazione determinati dal Discriminatore su cui andiamo a fare la backpropagation. Successivamente, andiamo a definire il tensore *grads\_val*, attraverso il quale andiamo a recu-

perare i gradienti precedentemente salvati. Infine, tramite questi gradienti, calcoliamo la mappa di attenzione *cam* cercata.

```
features, output = self.extractor(input)
one_hot = torch.mean(output)

one_hot.backward(retain_graph=True)

grads_val = self.extractor.get_gradients()[-1].cpu().data

target = features[-1]
target = target.cpu().data[0, :]

weights = torch.mean(grads_val, axis=(2, 3))[0, :]
cam = torch.zeros(target.shape[1:], dtype=torch.float32)

for i, w in enumerate(weights):
    cam += w * target[i, :, :]

cam = F.relu(cam)
cam = cam - torch.min(cam)
cam = cam / torch.max(cam)

return cam
```

## 2.6 CycleGAN e GradCam

Ora, come ultimo passaggio non ci resta che combinare insieme le due architetture fin qui definite, al fine di poter calcolare la Loss di consistenza dell'attenzione. Per fare questo quindi generiamo le mappe di attenzione all'interno della classe `cycle_gan_model` sia sulla traduzione da *A* a *B*, che nella ricostruzione da *B* a *A*.

```

def __init__(self, opt):
    self.gradcamG_A = GradCam(model=self.netG_A,
                               discriminator=self.netD_A,
                               feature_module=self.netG_A.module.model,
                               use_cuda=True)
    self.gradcamG_B = GradCam(model=self.netG_B,
                               discriminator=self.netD_B,
                               feature_module=self.netG_B.module.model,
                               use_cuda=True)

def forward(self):
    self.fake_B = self.netG_A(self.real_A)
    horse = self.real_A.requires_grad_(True)
    self.cam_fake_B = self.gradcamG_A(horse, self.first_layer,
                                      None)
    self.cam_fake_B = self.cam_fake_B.unsqueeze(0)
    for name in (self.layers):
        self.cam_fake_B = torch.cat((self.gradcamG_A(horse,
                                                      name, None).unsqueeze(0),
                                     self.cam_fake_B), dim=0)

```

Come vediamo dal codice, generiamo le mappe di attenzione sull'immagine reale per ogni layer tra quelli da noi indicati. Questa operazione viene ripetuta, ovviamente con i rispettivi generatori e discriminatori, anche per l'immagine ricostruita e per la traduzione inversa da zebre a cavalli.

Concludiamo ora la parte relativa al codice andando ad implementare la Loss di consistenza dell'attenzione. Per calcolarla utilizziamo una *MSELoss*.

```

def backward_G(self):
    self.att_lossA2B = self.MSE_LOSS(self.cam_fake_B,
                                      self.cam_rec_A)
    self.att_lossB2A = self.MSE_LOSS(self.cam_fake_A,

```

```
    self.cam_rec_B)
```

# Capitolo 3

## Risultati

In questo capitolo provvederemo ad analizzare i risultati dell'applicazione dell'algoritmo GradCam alla CycleGAN secondo i metodi precedentemente descritti. Successivamente, descriveremo gli ulteriori sviluppi apportati alla rete e ne commenteremo i rispettivi risultati, confrontandoli tra loro grazie all'algoritmo FID.

### 3.1 Introduzione

Prima di vedere i risultati ottenuti descriviamo l'obiettivo della rete ed i parametri principali. La rete, come ampiamente spiegato, è una CycleGAN impiegata nella image-to-image translation. Nel nostro caso, il dataset scelto per addestrare e testare la rete è il dataset *horse2zebra*. Il dataset è suddiviso in quattro parti: due per l'addestramento della rete, composte da 1334 immagini di cavalli e 1066 immagini di zebre, e due di test per la rete, composte da 120 cavalli e 139 zebre, per un totale di 2659 immagini.

Il numero di epoche necessarie a completare l'addestramento è 200, mentre il *learning rate* della rete vale 0.0002 per le prime 100 epoche, successivamente andrà via via in diminuendo fino ad arrivare a 0.

## 3.2 Addestramento base

Prima di commentare i risultati ottenuti applicando GradCam alla rete, soffermiamoci sui risultati prodotti dalla rete non modificata. I risultati che ora andremo ad illustrare saranno quindi frutto dell’addestramento della CycleGAN proposta dal paper [8].

### 3.2.1 Traduzione da cavalli a zebre

Analizziamo i risultati ottenuti partendo dalla traduzione da cavalli a zebre. I risultati sono mediamente sufficienti: la rete in linea generale riesce a applicare le strisce che contraddistinguono le zebre sui cavalli, come vediamo in figura 3.1.



Figura 3.1: Vediamo alcuni esempi di traduzione da cavallo a zebra dove la rete è riuscita a generare un’immagine accettabile.

Ovviamente la rete non è esente da difetti: in alcuni casi non riesce ad applicare uniformemente le strisce al manto del cavallo, rendendo evidente la falsità dell’immagine, oppure riconosce cavalli dove non ci sono, andando così a distorcere completamente l’immagine, come vediamo dagli esempi in figura 3.2



Figura 3.2: Vediamo come negli esempi di sinistra la rete non riesca a riconoscere il cavallo, mentre in quelli di destra la rete non riesca ad applicare le strisce in modo uniforme.

I risultati migliori sono quelli ottenuti da immagini in cui il cavallo è ben riconoscibile in foto e non è distante. La rete, inoltre, ha difficoltà a riconoscere la sagoma del cavallo quando nella foto sono presenti più cavalli, soprattutto se sovrapposti in prospettiva. L'algoritmo di FID applicato alle immagini delle zebre generate dalla rete, rispetto a tutte le immagini delle zebre del dataset, restituisce come risultato 33.66.

### 3.2.2 Traduzione da zebre a cavalli

Valutiamo ora la traduzione contraria, da zebre a cavalli. In questo caso, notiamo come la rete abbia più difficoltà nella generazione delle immagini, come vediamo in figura 3.3. È infatti difficile trovare tra i risultati immagini pienamente soddisfacenti, che mettano in difficoltà anche l'occhio umano, cosa che invece, nel caso precedente, accadeva con più frequenza.



Figura 3.3: Alcuni dei migliori risultati della traduzione da zebre a cavalli, vediamo come rimangano le strisce che la rete prova ad eliminare.

In questo caso l'algoritmo di FID, applicato rispetto a tutte le immagini dei cavalli presenti nel dataset, restituisce come risultato 64.57.

### 3.3 Addestramento con trasferimento dell'attenzione

Vediamo ora i risultati ottenuti dalla rete modificata utilizzando GradCam per generare la Loss di consistenza dell'attenzione. Sono stati effettuati più addestramenti con questa modalità, cambiando i parametri su cui ricavare l'attenzione, come vedremo successivamente. In questa sezione ci soffermeremo sui risultati ottenuti applicando il trasferimento dell'attenzione sull'ultimo blocco residuo. In questo caso, i risultati sono notevolmente migliorati nella traduzione da cavalli a zebre e hanno avuto un leggero miglioramento anche nella traduzione opposta.

### 3.3.1 Traduzione da cavalli a zebre

Come detto, si è migliorata l’efficienza della rete nella traduzione da cavalli a zebre. Infatti, i risultati mostrano una maggiore precisione nel riconoscimento del cavallo a cui applicare le strisce e una maggiore capacità di uniformare i cambiamenti. Come vediamo in figura 3.4, la rete genera risultati migliori e più verosimili.

Ovviamente, anche in questo caso la rete non è perfetta, sono ancora presenti alcuni problemi nel riconoscimento dei cavalli in determinate foto, come ad esempio quelle ritraenti più cavalli distanti dall’obiettivo.



Figura 3.4: Alcuni dei migliori risultati della traduzione da cavalli a zebre con trasferimento dell’attenzione, vediamo come le strisce siano più marcate ed uniformi.

A sostegno di quanto affermato possiamo utilizzare l’algoritmo di FID ottenendo un risultato di 27.9.

### 3.3.2 Traduzione da zebre a cavalli

Come affermato precedentemente, in questo caso il miglioramento è minimo. Infatti, la rete fa ancora fatica ad eliminare uniformemente le strisce bianche

e nere delle zebre, come vediamo dalla figura 3.5. I risultati sono molto simili ai precedenti, lo dimostra anche il risultato del FID, pari a 61.5, ancora molto elevato, seppur migliore del precedente.



Figura 3.5: Alcuni dei migliori risultati della traduzione da zebre a cavalli, vediamo come, anche in questo caso, rimangano le strisce che la rete prova ad eliminare.

### 3.4 Confronto tra le due reti

Abbiamo dunque visto come la rete venga migliorata applicando il trasferimento dell'attenzione. Ora possiamo andare nel dettaglio e, aiutandoci tramite esempi generati da entrambe le reti, confrontare i risultati.

Per comodità le reti verranno da qui in poi indicate come rete *standard* e rete *GradCam*.

Nella sezione precedente, avevamo indicato tra i problemi della rete *standard* la difficoltà nell'applicare in maniera uniforme le strisce bianche e nere ai cavalli; questo problema, come vediamo in figura 3.6, viene perfettamente risolto dalla rete *GradCam*. Inoltre, le immagini generate dalla rete *GradCam* hanno mediamente una qualità migliore rispetto alle altre. Questo lo si nota andando ad analizzare lo sfondo delle immagini generate: nel caso

*standard*, molto spesso, esso risultava essere corrotto, oppure perdeva colore, risultando la maggior parte delle volte più scuro e opaco. Nel caso della rete *GradCam*, invece, lo sfondo risente meno di questi peggioramenti, come notiamo dal colore del cielo della prima immagine della figura 3.6, e ciò porta ad una migliore qualità nel complesso. La rete *GradCam* è inoltre in grado di riconoscere meglio i cavalli: infatti alcuni di essi, specie quelli dal manto completamente nero, mettevano in seria difficoltà la rete *standard*, mentre la rete *GradCam*, seppur non ancora in maniera ottimale, riesce a portare buoni risultati anche su questa tipologia di immagini. Un ulteriore miglioramento che salta all'occhio risiede nel colore del manto delle zebre generate dalla rete *GradCam*: molto spesso infatti, anche nelle migliori immagini generate dalla rete *standard*, il manto presentava sfumature scure, tendenti al marrone, dovute al colore del cavallo originale. Nelle immagini prodotte dalla rete *GradCam*, invece, queste sfumature si sono, nella maggior parte dei casi, azzerate.



Figura 3.6: In foto il confronto tra immagine reale, immagine generata senza GradCam e immagine generata dalla rete con GradCam.

Un discorso simile lo si può fare anche trattando la traduzione da zebre a cavalli: infatti, seppur i risultati siano ancora lontani dalla realtà, possiamo

notare alcuni miglioramenti. Come vediamo in figura 3.7, la rete *GradCam* si dimostra migliore nell'eliminazione delle strisce bianche e nere, specie in quelle immagini che ritraggono le zebre in primo piano.

Nonostante questi miglioramenti, rimane però il problema principale che caratterizzava la rete *standard*: non si riescono ad eliminare perfettamente le strisce delle zebre. Entrambe le reti, infatti, non mostrano particolare difficoltà nel differenziare l'animale dallo sfondo, cosa che accade nella traduzione opposta, ma hanno elevata difficoltà nell'eliminazione delle strisce bianche e nere, tant'è che la maggior parte dei risultati presenta ancora strascichi delle strisce, come vediamo dalla figura 3.7.

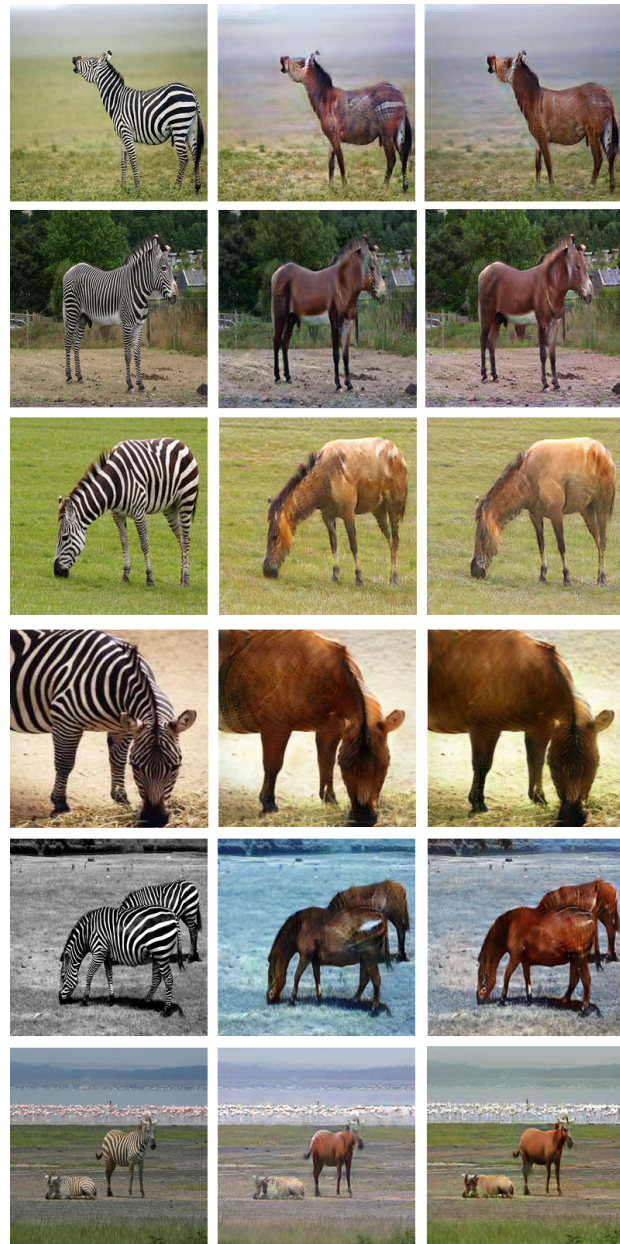


Figura 3.7: In foto il confronto tra immagine reale, immagine generata senza GradCam e immagine generata dalla rete con GradCam.

### 3.5 Ulteriori sviluppi per la rete

Dopo aver commentato i risultati ottenuti sfruttando GradCam sull'ultimo blocco residuo ed averli confrontati con i risultati della rete *standard*, possiamo ora analizzare le ulteriori modifiche che abbiamo apportato alla rete. Infatti, al fine di migliorare i risultati ottenuti, abbiamo provato a modificare alcuni parametri della rete, sempre utilizzando l'algoritmo GradCam. Prima di entrare nel dettaglio, è bene specificare che tra tutte le reti provate, quella migliore, basandoci sul risultato dell'algoritmo FID, rimane la rete *GradCam*, come vediamo dalla tabella 3.1.

Le modifiche apportate alla rete sono state le seguenti:

- Utilizzo di un coefficiente pari a 0.1 per la Loss di consistenza dell'attenzione;
- Utilizzo di GradCam solo nella traduzione *primaria*, quindi solo da dal dominio *A* al dominio *B*;
- Utilizzo di GradCam attraverso un *detach* sulle immagini fake generate per il calcolo della Loss;
- Utilizzo di GradCam su quattro blocchi residui.

Rete	FID Zebre	FID Cavalli
<i>standard</i>	33.66	64.57
<i>GradCam</i>	<b>27.94</b>	<b>61.54</b>
<i>GradCamWithCoeff</i>	31.90	66.01
<i>GradCamA2B</i>	30.60	65.32
<i>GradCamWithDetach</i>	32.74	62.71
<i>GradCamFourLayers</i>	33.18	61.77

Tabella 3.1: Comparazioni tra i valori dei FID delle varie architetture utilizzate.

Andando più nel dettaglio vediamo perché abbiamo provato queste modifiche alla rete.

Per quanto riguarda il coefficiente applicato alla Loss di consistenza dell’attenzione, abbiamo ragionato sul fatto che, senza questo coefficiente, la Loss sarebbe potuta essere troppo elevata rispetto alle altre presenti all’interno della rete, e, per questo motivo, avrebbe potuto sbilanciare il calcolo più in suo favore, riducendo i contributi delle altre Loss.

Il ragionamento che ci ha spinti, invece, ad utilizzare GradCam solo per la traduzione da  $A$  a  $B$  invece è dovuto al fatto di voler provare ad utilizzare il trasferimento dell’attenzione solo per la traduzione da cavalli a zebre, in quanto è in questa traduzione che si riscontrano i risultati migliori.

L’utilizzo del *detach* sulle immagini fake durante il calcolo della Loss, di cui vediamo il codice:

```
self.att_lossA2B = self.MSE_LOSS(self.cam_fake_B.detach(),
                                  self.cam_rec_A)
self.att_lossB2A = self.MSE_LOSS(self.cam_fake_A.detach(),
                                  self.cam_rec_B)
```

è stato fatto perché senza di esso sono entrambe le attenzioni che tendono ad un’attenzione comune, sia quella dell’immagine reale che quella dell’immagine fake. Idealmente, però, sarebbe solo l’attenzione dell’immagine fake a doversi adattare a quella dell’immagine reale, ed è proprio a questo che serve il *detach* posto prima del calcolo della Loss.

Infine, l’utilizzo di GradCam su quattro blocchi residui, anzichè solo sull’ultimo, è stato effettuato per provare a migliorare la consistenza dell’attenzione. I layer scelti (10,14,15,18), infatti, mostravano i risultati migliori nella generazione delle attenzioni.

Concludiamo, infine, questa sezione andando a vedere i risultati generati dalle varie reti sulle stesse immagini. Come vediamo dalle figure 3.8 e 3.9, la rete *GradCam* si conferma la migliore.



Figura 3.8: In foto il confronto tra le immagini generate dalle reti, ordinate decrescentemente da sinistra a destra secondo il risultato dell'algoritmo di FID.



Figura 3.9: In foto il confronto tra le immagini generate dalle reti, ordinate decrescentemente da sinistra a destra secondo il risultato dell'algoritmo di FID.

### 3.6 Dataset Apple2Orange

Dopo aver visto e commentato i risultati delle reti utilizzando il dataset *horse2zebra*, vediamo ora se le stesse considerazioni possono essere fatte per un altro dataset. Il dataset in questione è *apple2orange*, il cui compito è quello di tradurre immagini di mele in arance e viceversa. Il dataset è strutturato in maniera uguale al precedente, ovvero in quattro parti: le prime due per l'addestramento, composte da 994 immagini di mele e 1018 immagini di arance e le altre due per la fase di test, composte da 265 mele e 247 arance, per un totale di 2524 immagini. Il numero di epoche ed il *learning rate* della rete sono rimasti invariati rispetto all'addestramento precedentemente descritto. Per quanto riguarda le tipologie di reti addestrate con questo dataset, si

è scelto di provare l’architettura *standard*, come punto di partenza, e l’architettura *GradCam* sull’ultimo blocco residuo per valutare i miglioramenti. Anche in questo caso, la rete *GradCam* ha migliorato i risultati per entrambe le traduzioni, come vediamo dalla tabella 3.2.

Rete	FID Arance	FID Mele
<i>standard</i>	105.15	81.05
<i>GradCam</i>	<b>103.89</b>	<b>75.79</b>

Tabella 3.2: Comparazioni tra i valori dei FID delle due architetture utilizzate.

### 3.6.1 Traduzione da mele ad arance

Come vediamo dai valori in tabella 3.2, entrambe le reti risultano discostarsi molto da risultati reali. Analizzando le immagini, infatti, notiamo come la rete riesca sì ad applicare il colore arancione alle mele, ma non riesca a mantenere una buona qualità dell’immagine. Un ulteriore problema che affligge la rete *standard* è la mancanza di opacità nel colore. Infatti, nelle arance generate da questa rete, il colore è molto spesso sbiadito, quasi tendente al giallo rispetto che all’arancione. Questo problema, come si vede nella figura 3.10, sembra essere parzialmente risolto dalla rete *GradCam*. Questa rete sembra riuscire, infatti, ad applicare un colore più marcato e reale alle immagini delle mele, avendo però difficoltà, come per la rete *standard*, a mantenere la qualità dell’immagine di partenza.



Figura 3.10: In foto il confronto tra le immagini generate dalla rete *standard* prima e dalla rete *GradCam* poi.

### 3.6.2 Traduzione da arance a mele

Valutiamo ora la traduzione contraria, da arance a mele. Anche in questo caso i risultati sono ancora molto distanti da valori accettabili, con ogni probabilità per colpa della qualità dell'immagine generata. Come nel caso precedente, infatti, l'immagine prodotta da entrambe le reti ha una qualità di molto inferiore rispetto all'immagine di partenza, come vediamo dalla

figura 3.11. Analizzando più nel dettaglio i risultati prodotti, notiamo come la rete *standard*, come nel caso precedente, fatichi ad applicare un colore marcato alla mela. Infatti, la maggior parte delle immagini generate dalla rete *standard* risulta essere sbiadita e con un colore misto tra il rosso della mela e l’arancione dell’arancia da ottenere. Questo problema sembra, anche in questo caso, essere risolto dalla rete *GradCam*, come vediamo sempre dalle immagini di figura 3.11.



Figura 3.11: In foto il confronto tra le immagini generate dalla rete *standard* prima e dalla rete *GradCam* poi.

Una possibile giustificazione al valore del FID così elevato può essere dovuta alla composizione del dataset: sia per le immagini delle mele, che per le immagini delle arance, troviamo immagini molto diversificate tra loro, come arance tagliate a metà, arance intere, arance tagliate a spicchi e via dicendo. Questo può quindi inserire un’ulteriore difficoltà per la rete, in quanto non sa distinguere quando applicare all’immagine il colore dell’interno, come nel caso di arance tagliate a metà, oppure applicare il colore della buccia, come nel caso di arance intere. Questo ragionamento, che vale anche per le mele, può essere la causa dei valori elevati del FID per entrambe le reti.

# Capitolo 4

## Conclusioni e sviluppi futuri

In questo capitolo finale tratteremo i possibili sviluppi futuri che possono essere apportati al sistema realizzato, al fine di migliorarne le prestazioni sia in termini di risultati, sia in termini di efficienza del codice.

### 4.1 Conclusioni

Prima di procedere illustrando i possibili sviluppi della rete è bene ricapitolare brevemente le conclusioni dedotte dai risultati commentati nei capitoli precedenti.

Possiamo affermare di aver ottenuto dei risultati pienamente soddisfacenti: era infatti lo scopo del nostro sistema quello di migliorare i risultati prodotti dalla CycleGan proposta dal Paper [8], e il trasferimento dell'attenzione sull'ultimo blocco residuo ha, per l'appunto, aumentato l'efficienza delle reti. Seppur con risultati ancora distanti dalla realtà, come indicato dai valori dei FID per le immagini generate, la rete *GradCam* ha migliorato la qualità della rete: le immagini generate sono più verosimili, i cambiamenti sono più uniformi, come nel caso delle zebre e delle mele, la qualità della foto è migliorata e la rete riesce, in linea generale, a individuare quasi senza commettere errori il soggetto della foto, che sia un cavallo, una zebra, una mela o un'arancia, evitando così di corrompere lo sfondo come avveniva per la rete *standard*.

## 4.2 Sviluppi futuri

Vediamo ora, in questa sezione finale, qualche idea e qualche spunto da cui partire per continuare il processo di miglioramento della rete. In linea generale un miglioramento della rete può andare ad intaccare due parametri: la verosimilità dei risultati, andando quindi a lavorare sulla logica dell'architettura, oppure l'efficienza della rete, andando quindi a lavorare a livello di codice, cercando di migliorare la qualità e i tempi dell'addestramento.

### 4.2.1 Miglioramento dei risultati

Partiamo dal punto di vista del miglioramento dei risultati: una prima idea potrebbe essere quella di utilizzare il trasferimento dell'attenzione su tutti e nove i blocchi residui. Ricordiamo come nel capitolo precedente abbiamo dimostrato che trasferendo l'attenzione generata da quattro blocchi residui (il blocco iniziale, due centrali e quello finale), le capacità della rete migliorino, seppur in modo minore rispetto al trasferimento applicato solo sull'ultimo blocco residuo. Occorrerebbe quindi provare un addestramento che consideri tutti i blocchi residui della rete, al fine di verificare se il comportamento della rete addestrata trasferendo l'attenzione sui quattro blocchi residui sia peggiorare rispetto alla rete *GradCam* per colpa dei layer scelti, oppure se sia dovuta al fatto che l'unico blocco in grado di generare un'attenzione utile all'addestramento della rete sia proprio l'ultimo. Un'ulteriore idea, già accennata nei capitoli precedenti, potrebbe essere quella di utilizzare sì il trasferimento dell'attenzione su tutti i blocchi residui della rete, ma andando a pesare le attenzioni generate da questi blocchi, dando magari un peso più elevato all'ultimo blocco e un peso minore ai blocchi precedenti.

Concludiamo questa parte che tratta il miglioramento dei risultati illustrando un'ultima idea che potrebbe essere applicata alla rete. Analizzando le mappe di attenzione notiamo come sia sì l'ultimo blocco residuo a riconoscere al meglio la sagoma del soggetto, ma come anche i blocchi precedenti abbiano un'attenzione, seppur diversa, ben focalizzata su aspetti importanti della

sagoma, come il muso dei cavalli, il corpo e via dicendo. L’approccio consisterebbe quindi nell’addestrare per le prime 200 epoche la rete utilizzando il trasferimento dell’attenzione sull’ultimo blocco residuo, e successivamente, partendo da questo addestramento, addestrarlo a sua volta per altre 200 epoche, utilizzando questa volta il trasferimento dell’attenzione su tutti i blocchi residui.

#### 4.2.2 Efficienza della rete

Analizziamo ora i miglioramenti che possono essere fatti per quanto riguarda l’efficienza della rete. Come abbiamo già accennato, l’addestramento con GradCam fa aumentare notevolmente i tempi. Si passa infatti dai 7/8 minuti necessari alla rete *standard*, ai 15/20 minuti necessari alla rete *GradCam* con un solo blocco residuo. Se addirittura consideriamo i tempi dell’addestramento con quattro blocchi residui, essi sono nell’ordine dei 40/45 minuti per epoca<sup>1</sup>. L’idea sarebbe quindi quella di riscrivere il codice di GradCam, al fine di migliorarne l’efficienza per la generazione delle mappe di attenzione, magari evitando di specificare i layer sui quali l’attenzione si vuole generare, ma facendo in modo che l’attenzione venga generata in modo automatico su tutti i layer della rete. In questo modo si eviterebbero i tempi lunghi dei cicli *for* e si otterrebbe un codice più veloce ed efficiente.

Ad ogni modo, gli sviluppi apportabili alla rete sono tanti e tutti sensati fino a quando non vengono provati e analizzati; non resta altro che munirsi di scheda grafica, un ambiente di sviluppo adeguato, un dataset con cui addestrare la rete e mettersi all’opera.

---

<sup>1</sup>I tempi indicati sono quelli forniti dagli addestramenti effettuati con Google Colab, sono quindi indicativi e possono variare a seconda della GPU utilizzata.

# Bibliografia

- [1] Mitchell Tom. Hill, mcgraw. *Machine Learning*, 1997.
- [2] Mehryar Mohri, Afshin Rostamizadeh, and Ameet Talwalkar. *Foundations of machine learning*. MIT press, 2018.
- [3] Yann LeCun, Yoshua Bengio, and Geoffrey Hinton. Deep learning. *nature*, 521(7553):436–444, 2015.
- [4] Kishan Mehrotra, Chilukuri K Mohan, and Sanjay Ranka. *Elements of artificial neural networks*. MIT press, 1997.
- [5] Rikiya Yamashita, Mizuho Nishio, Richard Kinsho Do, and Kaori Togashi. Convolutional neural networks: an overview and application in radiology. *Insights into imaging*, 9(4):611–629, 2018.
- [6] Jason Brownlee. *Generative Adversarial Networks with Python: Deep Learning Generative Models for Image Synthesis and Image Translation*. Machine Learning Mastery, 2019.
- [7] Ian J Goodfellow, Jean Pouget-Abadie, Mehdi Mirza, Bing Xu, David Warde-Farley, Sherjil Ozair, Aaron Courville, and Yoshua Bengio. Generative adversarial networks. *arXiv preprint arXiv:1406.2661*, 2014.
- [8] Jun-Yan Zhu, Taesung Park, Phillip Isola, and Alexei A. Efros. Unpaired image-to-image translation using cycle-consistent adversarial networks. In *Proceedings of the IEEE International Conference on Computer Vision (ICCV)*, Oct 2017.

- [9] Phillip Isola, Jun-Yan Zhu, Tinghui Zhou, and Alexei A. Efros. Image-to-image translation with conditional adversarial networks, 2018.
- [10] Ramprasaath R. Selvaraju, Michael Cogswell, Abhishek Das, Ramakrishna Vedantam, Devi Parikh, and Dhruv Batra. Grad-cam: Visual explanations from deep networks via gradient-based localization. In *Proceedings of the IEEE International Conference on Computer Vision (ICCV)*, Oct 2017.
- [11] Martin Heusel, Hubert Ramsauer, Thomas Unterthiner, Bernhard Nessler, Günter Klambauer, and Sepp Hochreiter. Gans trained by a two time-scale update rule converge to a nash equilibrium. *CoRR*, abs/1706.08500, 2017.
- [12] Thomas Eiter and Heikki Mannila. Computing discrete fréchet distance. Technical report, Citeseer, 1994.
- [13] Sasha Targ, Diogo Almeida, and Kevin Lyman. Resnet in resnet: Generalizing residual architectures. *arXiv preprint arXiv:1603.08029*, 2016.
- [14] Ethem Alpaydin. *Introduction to machine learning*. MIT press, 2020.
- [15] W. J. Zhang, G. Yang, Y. Lin, C. Ji, and M. M. Gupta. On definition of deep learning. In *2018 World Automation Congress (WAC)*, pages 1–5, 2018.